

指令流分析制导的动态二进制翻译优化技术

胡起

2023 年 5 月 18 日

微处理器研究中心
中国科学院计算技术研究所

1. 研究背景
2. 相关研究
3. 指令流分析制导的动态二进制翻译优化 (IFADO)
4. 总结与展望

研究背景

为什么需要二进制翻译？

一个新指令集架构的产生，需要建立其配套的软件生态：

软件迁移 + 重新编译

- ✓ 原生，性能优秀
- × 闭源软件无法迁移
- × 开源软件迁移需要投入大量时间 *Tab.1*

表 1: ArchLinux 中 LoongArch 架构软件支持清单

仓库	二进制包数量	完成度
core	257	100%
extra	2651	88%
community	5691	41%

为什么需要二进制翻译？

一个新指令集架构的产生，需要建立其配套的软件生态：

软件迁移 + 重新编译

二进制翻译

- × 翻译，性能较差
- ✓ 闭源软件直接翻译运行
- ✓ 开源软件直接翻译运行

二进制翻译打破指令集间“壁垒”，在新指令架构上运行已有程序：

- 快速提高新指令架构上软件丰富度
- 降低迁移的工作量
- 闭源软件运行的可能性

性能优化为什么是关键性问题？

二进制翻译

- × 翻译，性能较差
- ✓ 闭源软件直接翻译运行
- ✓ 开源软件直接翻译运行

翻译后程序性能直接影响使用体验：

- 看视频“卡成 PPT” Fig.1
- 存在超时机制的程序
 - V8 引擎
 - TCP 连接

```
2265 [Info]: tools: rd=1 psy-rd=2.00 early-skip rskip mode=1 signhide tncp
2265 [Info]: tools: b-intra strong-intra-smoothing deblock sao
Output #0, mp4, to './ffmpeg.mp4':
  Metadata:
    major_brand      : mp42
    minor_version    : 0
    compatible_brands: mp42mp41isomvc1
    encoder          : Lavf59.27.100
Stream #0:0(und): Video: hev1 (hvc1 / 0x31637668), yuv420p(progressive), 480x270 [SAR 1:1 DAR 16:9]
  Metadata:
    creation_time   : 2015-08-07T09:33:02.000000Z
    handler_name    : L-SMASH Video Handler
    vendor_id       : [0][0][0][0]
    encoder         : Lavc59.37.100 libx264
  Side data:
    cpb: bitrate max/min/avg: 0/0/0 buffer size: 0 nb_frames: N/A
Stream #0:1(und): Audio: aac (LC) (mp4a / 0x01347660), 48000 Hz, stereo, fltp, 128 kb/s (default)
  Metadata:
    creation_time   : 2015-08-07T09:33:02.000000Z
    handler_name    : L-SMASH Audio Handler
    vendor_id       : [0][0][0][0]
    encoder         : Lavc59.27.100 aac
frame: 176 fps=0.4 4.1 size= 0kB time=00:00:05.97 bitrate= 0.14kbits/s speed=0.0146x
```

fps=0.4

图 1: Qemu 运行 FFmpeg 解码视频运行帧率

相关研究

Digital 公司的 FX!32 将 32 位 X86 程序迁移到 Alpha 架构:

- 首次运行产生概要文件
- 后续运行持续优化^a
- Cache 优化
- 跳转优化
- 代码生成优化
- 地址对齐优化

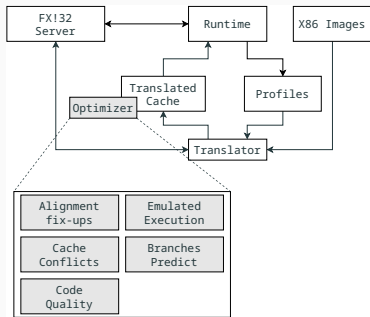


图 2: FX!32 架构图

^aDrongowski et al., "Studying the Performance of the FX!32 Binary Translation System".

Transmeta Crusoe

使用 VLIW 架构的全系统二进制翻译：

- 硬件辅助的二进制翻译
- Shadow Register 机制^a
- 激进优化，错误回退

^aDehnert et al., "The Transmeta Code Morphing/spl trade/ Software: using speculation, recovery, and adaptive retranslation to address real-life challenges".

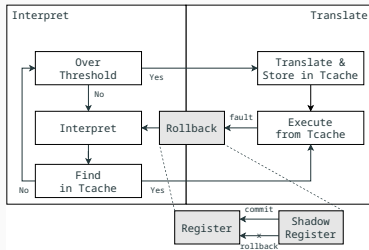


图 3: Transmeta Crusoe 架构图

Dynamo 在运行过程中收集性能信息，用于对原程序优化^a：

- 轻量级性能收集算法 MRET
- trace 优化，热点块合并
- 发展到 DynamoRIO

^aBala, Duesterwald, and Banerjia, “Dynamo: a transparent dynamic optimization system”.

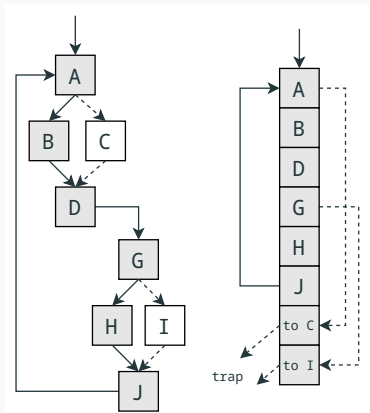


图 4: Dynamo 热点块合并优化

MAMBO-X64 和 JTLT 优化都是通过硬件的一些修改，降低间接的跳转开销：

MAMBO-X64^a

- 硬件加入跳转表
- 函数调用压栈时 SPC 和 TPC 同时入栈
- 返回时查找跳转表，跳转到 TPC

^aD'Antras et al., "Optimizing Indirect Branches in Dynamic Binary Translators".

JTLT (Jump Target-address Lookup Table)^a

- 加入 JTLT 和双地址返回值栈结构
- JTLT 与 BTB 联用，加速地址预测
- 双地址返回值栈和 MAMBO-X64 类似

^aKim and Smith, "Hardware support for control transfers in code caches".

HQEMU 在 QEMU 基础上加入 LLVM，用于指令优化：

- NET 的热点块收集
- LLVM 编译器优化
- 优化前后代码实时替换

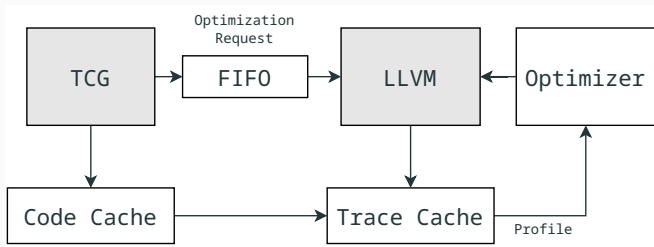


图 5: HQEMU 架构图

Rosetta2 是近年来的商业二进制翻译软件：

- X86 到 ARM 二进制翻译器
- 动静结合翻译，AOT
- 较少的优化措施
 - 活性分析等优化

LATX (Loongson Architecture Translator from X86)

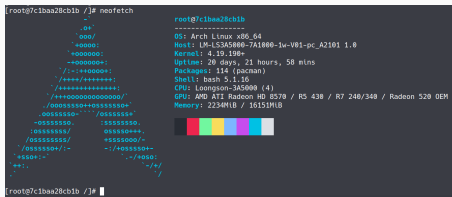
x86 到 LoongArch 用户态翻译器

- 正确性维护

- 页大小不匹配
- 指令翻译随机测试
- EFLAGS/浮点栈硬件支持

- 翻译后性能

- 原生性能 50-%
- 单指令翻译优化



```
root@7c1baa28cb1b /]# neofetch

      .o.
      ooo/
      +oooo/
      +oooooo+
      /:-+ooooo+
      /+++/++++++
      /+++++-----+
      /++++000000000000/
      /0005550++055550+
      -005550-"/055555+
      +055550  0555500
      /055555/  055500++
      /055555/  +555000/+
      /055550+/-  -/+05550+
      *550+--+  -/+050/
      +*+
      /+*/

root@7c1baa28cb1b
OS: Arch Linux x86_64
Host: LM-L53A5000-7A1000-3w-V01-pc_A2101 1.0
Kernel: 4.19.110+
Uptime: 20 days, 21 hours, 58 mins
Packages: 114 (pacman)
Shell: bash 5.1.10
CPU: Loongson-3A5000 (4)
GPU: AMD ATI Radeon HD 8570 / R5 430 / R7 240/340 / Radeon 520 OEM
Memory: 2234MiB / 16151MiB
```

图 6: docker 内启动 X86_64 的 Arch Linux

表 2: LATX 最初性能情况

测试类型	优化前	优化前 $\frac{LATX}{Native}$	优化后	优化后 $\frac{LATX}{Native}$	性能提升
CINT	1220	45.3%	1295	48.1%	6.1%
CFP	1838	49.1%	1912	51.1%	4.0%

LATX 性能分析框架

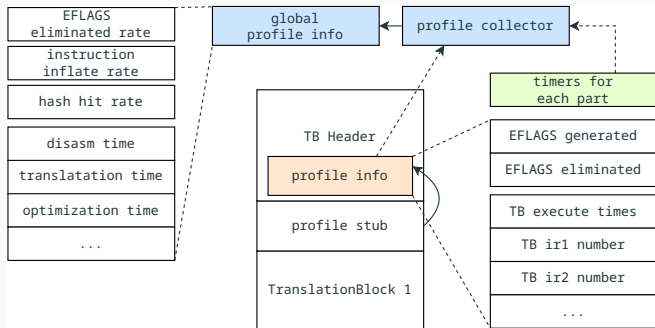


图 7: 性能分析系统架构

- 翻译开销统计
- EFLAGS 消除统计
- 指令翻译统计
- 直接/间接跳转统计

表 3: gzip 中指令使用频率

指令类型	动态运行数量	占比	exp.
mov	7,718,467,866	16.04%	1.78
cmp	6,987,729,783	14.52%	2.87
movzx	5,350,658,906	11.12%	2.97
jne	3,790,599,144	7.88%	6.74
lea	3,151,611,499	6.55%	2.66
sub	2,744,875,934	5.70%	3.77
and	2,513,651,036	5.22%	3.94
je	2,318,250,121	4.82%	6.93
movsxd	1,995,327,254	4.15%	1.06
jae	1,978,473,851	4.11%	6.95
add	1,850,150,565	3.84%	3.47
xor	1,563,243,497	3.25%	4.16
Other	6,165,295,262	12.81%	3.35
总计	48,128,334,718	100.00%	3.52

- 50% 以上运算指令需要计算/使用 EFLAGS
- LBT^a中 EFLAGS 计算类指令性能较低

表 4: EFLAGS 运算指令性能

指令类型	issue	cycle
搬运指令	1	2
运算指令	1	2
条件指令	1	1

^aLoongson Binary Translation, 龙芯二进制翻译扩展指令

实验：SSE 标量运算指令优化

- 去除所有向量寄存器高位的“保存-恢复”操作^a

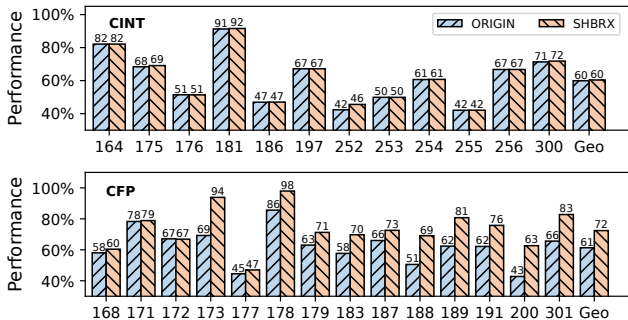


图 8: 高位操作完全消除性能数据

^aX86 为了向前兼容，需要对高位保留原值

指令流分析制导的动态二进制翻译优化 (IFADO)

LATX 优化方向

- EFLAGS 延迟计算
- “反馈式” 指令语义化翻译
- SSE 标量指令高位运算消除

指令流分析制导的动态二进制翻译优化

Instruction Flow Analysis Directing Optimization (IFADO)

指令流分析制导的动态二进制翻译优化 (IFADO)

LATX 优化方向

- EFLAGS 延迟计算
- “反馈式” 指令语义化翻译
- SSE 标量指令高位运算消除

指令流分析制导的动态二进制翻译优化

Instruction Flow Analysis Directing Optimization (IFADO)

	破坏性	优化系统	优化多样性	完备性
FXI32	-	需要 profile	较多	好
Transmeta	硬件	轻量级	激进的优化	好
Dynamo	-	需要 profile	热点块	较好
MAMBO-X64	硬件	轻量级	跳转	较好
JTLT				
HQEMU	-	LLVM	编译器支持	较差
Rosetta2	部分硬件	AOT	少	好
IFADO	已有指令	轻量级	支持浮点 (SSE)	好

指令流分析制导的动态二进制翻译 优化 (IFADO)

总体架构

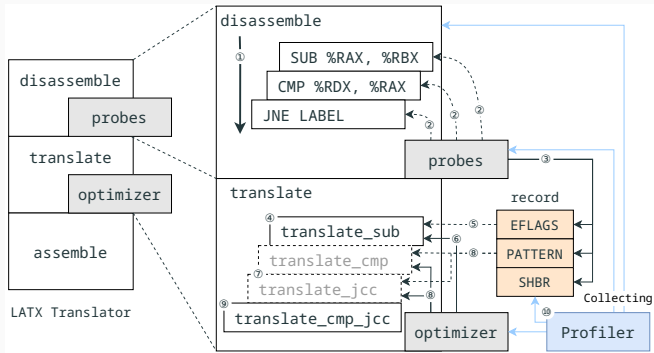


图 9: 指令流分析制导优化框架构图

- 反汇编阶段 (①)
- 探针搜索优化 (②)
- 记录已搜寻优化 (③)
- 翻译过程执行优化 (④~⑨)

QEMU 等二进制翻译器对 EFLAGS 延迟计算的缺陷

- 额外开销
 - 需要从内存加载源数据
- 粗粒度
 - 任一 EFLAGS 被使用都会导致全部计算
- 可扩展性差
 - 基本块内优化
 - 跨基本块复杂处理（预翻译、超级块、热路径等）

EFLAGS 延迟计算 - 架构

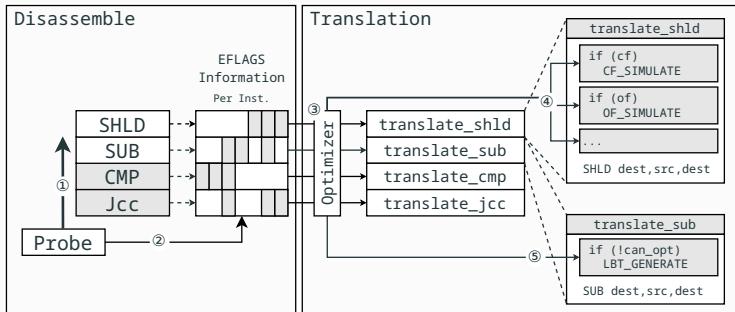


图 10: EFLAGS 延迟计算架构

- 反汇编阶段探针识别，翻译阶段执行优化

EFLAGS 延迟计算 – 探针识别

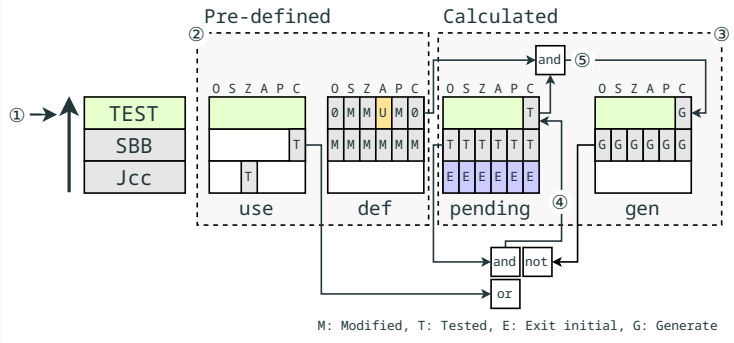


图 11: EFLAGS 延迟计算优化指令流分析过程

- 逆序扫描
- 根据后续使用的情况计算该指令的需要计算的状态位

EFLAGS 延迟计算 – 单指令翻译优化

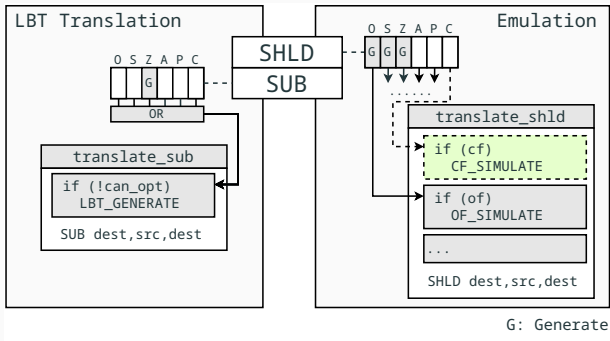
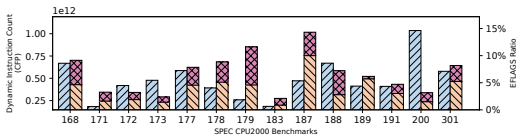
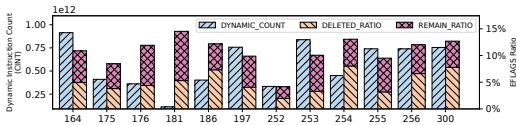
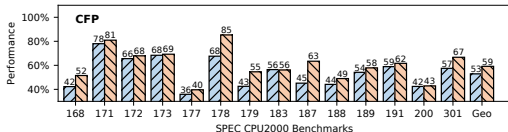
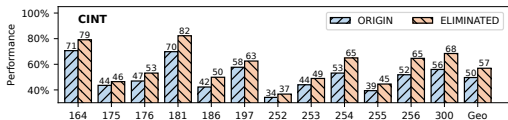


图 12: EFLAGS 指令消除

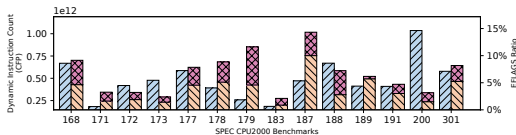
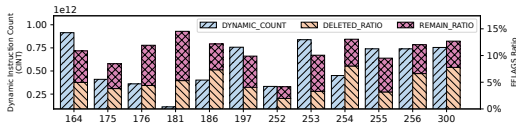
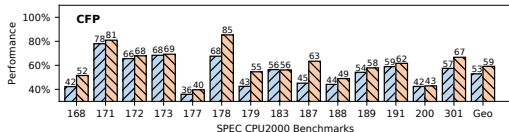
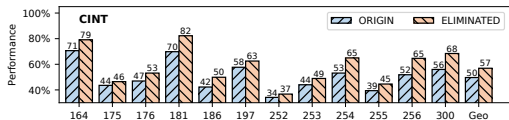
- LBT 指令：当任一 EFLAGS 无需计算时可以消除
- 模拟 EFLAGS：对每种类型 EFLAGS 标志单独运算

EFLAGS 延迟计算效果



- 性能 6%+ 提升
- 部分程序消除不明显
 - 176, 181, ...

EFLAGS 延迟计算效果

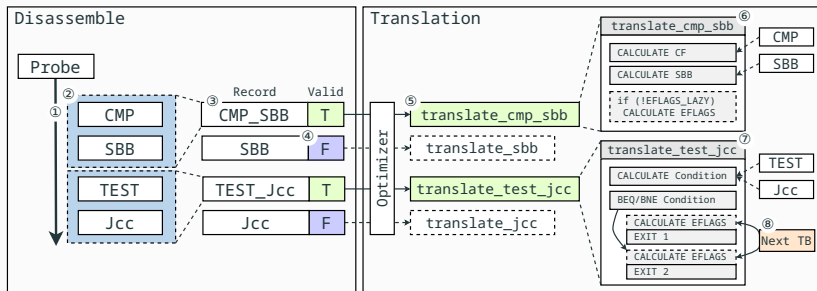


- 性能 6%+ 提升
- 部分程序消除不明显
 - 176, 181, ...

主要原因

- 后续指令使用
 - CMP/TEST+Jcc
- 基本块结尾产生

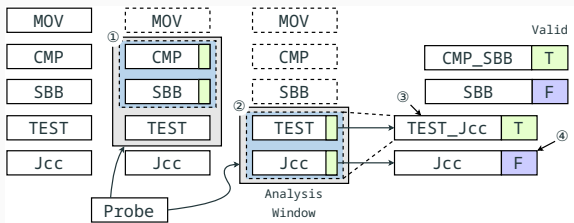
“反馈式”指令语义化翻译



解决问题

- EFLAGS 消除不完全
- 基本块内单指令翻译语义冗余

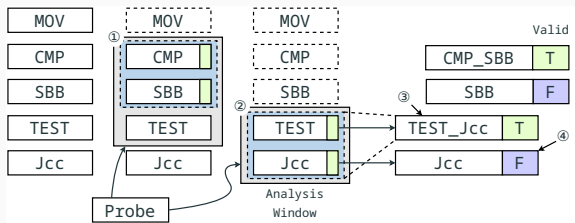
“反馈式”指令语义化翻译 – 探针识别



与窥孔优化类似

- 更加激进 – 只关心主要语义
- 其余语义 – 异常处理/基本块结尾处理

“反馈式”指令语义化翻译 – 探针识别



与窥孔优化类似

- 更加激进 – 只关心主要语义
- 其余语义 – 异常处理/基本块结尾处理

“激进”存在的问题

- 部分优化需要跨越基本块，优化不全？
- 优化后如何弥补与原有指令序列的语义差异？

“反馈式”指令语义化翻译 – 多指令翻译优化

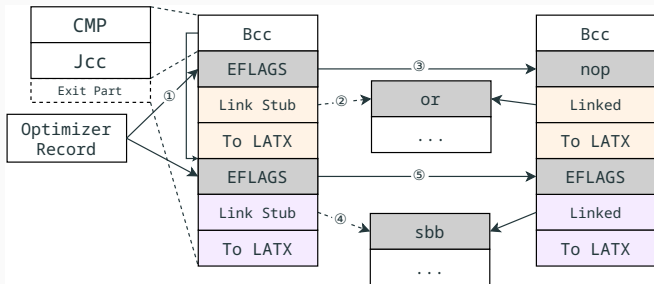
部分优化需要跨越基本块，优化不全？ – “反馈式”

- 消除式跨基本块反馈优化 – LBT 指令
- 链接式跨基本块反馈优化 – EFLAGS 模拟

“反馈式”指令语义化翻译 – 多指令翻译优化

消除式跨基本块反馈优化

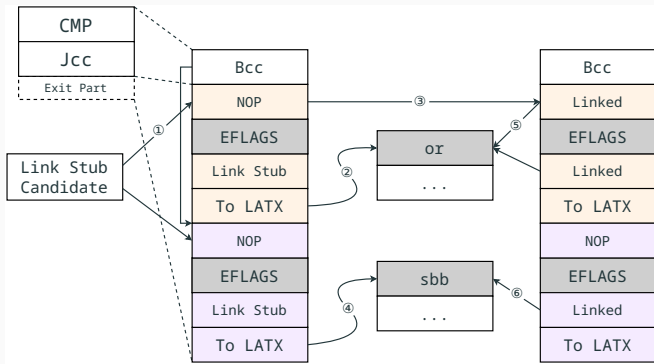
- 记录可能存在的优化 (①)
- 后续“反馈”信息 (②, ④)
- 可以优化情况 (③)
- 不可优化情况 (⑤)



“反馈式”指令语义化翻译 – 多指令翻译优化

链接式跨基本块反馈优化

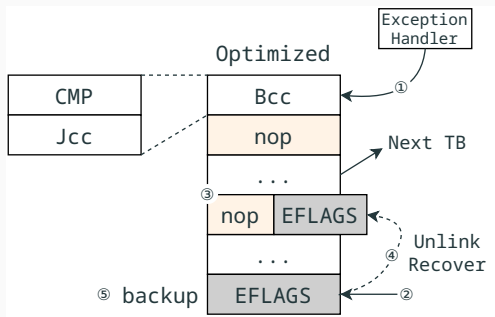
- 记录预留的链接点位 (①)
- 后续“反馈”信息 (②, ④)
- 可以优化情况 (③, ⑤)
- 不可优化情况 (⑥)



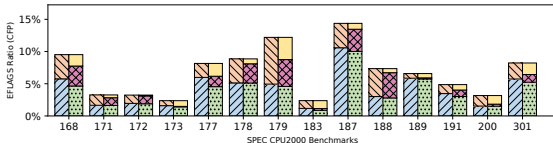
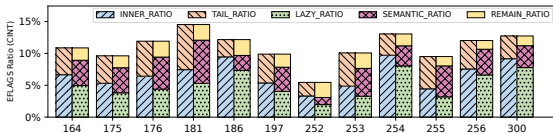
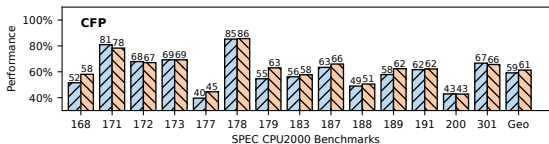
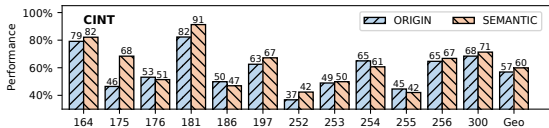
“反馈式”指令语义化翻译 – 从异常恢复

优化后如何弥补与原有指令序列的语义差异？

- 翻译时保留差异信息 (②, ⑤)
- 恢复状态, 修改基本块 (③, ④)



“反馈式”指令语义化翻译效果



- 性能 3%+ 提升
- EFLAGS 整体消除比例达到 80%

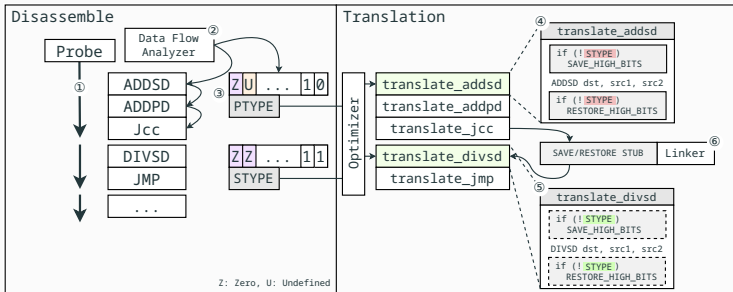
为什么要对 SSE 标量指令高位计算进行消除？

- 指令语义差距 - X86 计算高位保留
- 64 位程序默认使用 SSE 替代 X87 浮点计算指令
- 高位“保存-恢复”带来至少两条指令的冗余

```
00000000040c5b0 <_Z13ggOverlapBox2RK6ggBox2S1_>:
40c5b0: f2 0f 10 46 10      movsd 0x10(%rsi),%xmm0          <---- xmm0
40c5b5: 66 0f 2f 07        comisd (%rdi),%xmm0           <----> xmm0
40c5b9: 76 35              jbe 40c5f0 <_Z13ggOverlapBox2RK6ggBox2S1_+0x40>
40c5bb: f2 0f 10 47 10      movsd 0x10(%rdi),%xmm0          <---- xmm0
40c5c0: 66 0f 2f 06        comisd (%rsi),%xmm0           <----> xmm0
40c5c4: f2 0f 10 4f 08      movsd 0x8(%rdi),%xmm1          <---- xmm1
40c5c9: f2 0f 10 56 18      movsd 0x18(%rsi),%xmm2         <---- xmm2
40c5ce: f2 0f 10 67 18      movsd 0x18(%rdi),%xmm4         <---- xmm4
40c5d3: f2 0f 10 5e 08      movsd 0x8(%rsi),%xmm3          <---- xmm3
40c5d8: 76 16              jbe 40c5f0 <_Z13ggOverlapBox2RK6ggBox2S1_+0x40>
40c5da: 66 0f 2f d1        comisd %xmm1,%xmm2            <----> xmm1, xmm2
40c5de: 76 10              jbe 40c5f0 <_Z13ggOverlapBox2RK6ggBox2S1_+0x40>
40c5e0: 31 c0              xor %eax,%eax
40c5e2: 66 0f 2f e3        comisd %xmm3,%xmm4            <----> xmm3, xmm4
40c5e6: 0f 97 c0          seta %al
40c5e9: c3                 ret
```

图 13: SSE 浮点运算片段

SSE 标量指令高位运算消除



SSE 标量指令高位运算消除 (Scalar Higher Bits Remove, SHBR)

- 核心思想：“分类讨论”
 - 分类：将基本块按照一定规则分类
 - 讨论：根据不同分类执行相应优化

标量浮点高位计算消除 - “分类” (探针搜索)

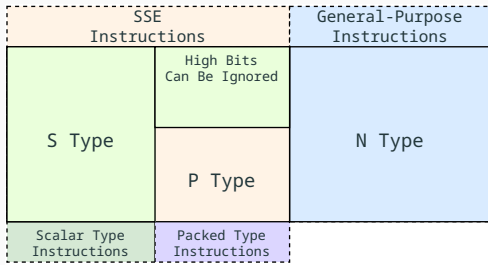
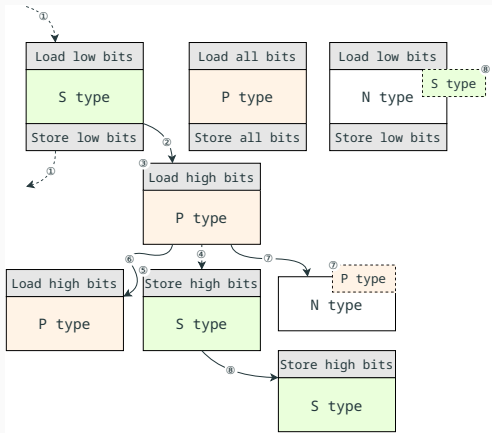


图 14: SHBR 算法对基本块的分类

- S(Scalar): 标量基本块
- P(Packed): 向量基本块
- N(None): 无 SSE 指令基本块
- 指令流分析后进行分类:
- S 类型块内只有标量运算指令 或
- 存在向量指令, 但高位不影响结果

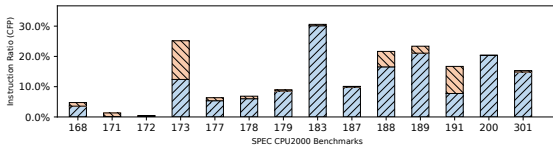
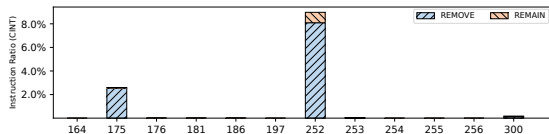
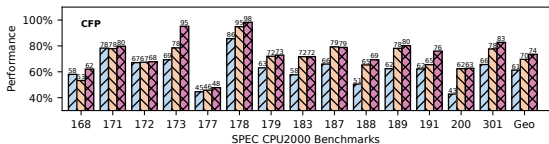
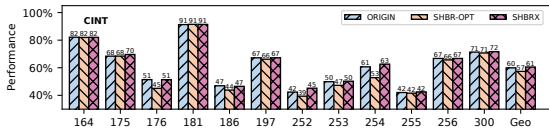
标量浮点高位计算消除 - “讨论” (翻译优化)



- S 类型进行消除，其余不做处理
- 向量寄存器高位数据默认在内存

- 链接不同类型需要处理 (②, ④)
- 相同类型基本块直接链接 (⑥, ⑧)

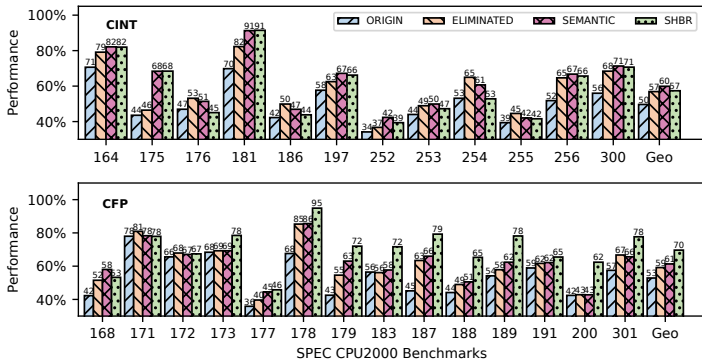
标量浮点高位计算消除性能数据



- 浮点 10% 提升
- 消除 90% 高位计算
- 定点性能略有下降
- 部分子项切换频繁

总结与展望

总结



- EFLAGS 消除 (6%) → 语义化翻译 (3%) → SSE 标量指令高位运算消除 (浮点 10%)
- EFLAGS 运算消除 80%+
- 标量浮点高位计算消除 90%+

“反馈式”优化的探索深度不够

- 加大反馈深度
- 微小基本块合并，如只有一条无条件跳转的基本块

SSE 标量指令高位运算消除对定点程序不友好




- 热路径上 SHBR 优化
- 启发算法 – 缓解基本块类型 “乒乓效应”



其他优化的探索

- 引入更加重量级别的优化
- 编译器的 PASS, AOT

请各位老师批评指正

References

-  Bala, Vasanth, Evelyn Duesterwald, and Sanjeev Banerjia. **“Dynamo: a transparent dynamic optimization system”**. In: *SIGP*. 2000.
-  D’Antras, Amanieu et al. **“Optimizing Indirect Branches in Dynamic Binary Translators”**. In: *ACM Transactions on Architecture and Code Optimization (TACO)* 13 (2016), pp. 1–25.
-  Dehnert, James C. et al. **“The Transmeta Code Morphing/spl trade/ Software: using speculation, recovery, and adaptive retranslation to address real-life challenges”**. In: *International Symposium on Code Generation and Optimization, 2003. CGO 2003.* (2003), pp. 15–24.

-  Drongowski, Paul J. et al. **“Studying the Performance of the FX!32 Binary Translation System”**. In: 2007.
-  Kim, Ho-Seop and James E. Smith. **“Hardware support for control transfers in code caches”**. In: *Proceedings. 36th Annual IEEE/ACM International Symposium on Microarchitecture, 2003. MICRO-36.* (2003), pp. 253–264.

为什么要对 EFLAGS 延迟计算？

- EFLAGS 计算指令性能差距^a
- 超过半数指令会产生 EFLAGS 计算指令

为什么要进行语义化翻译？

- 编译器特性 – 指令模板
- X86 条件跳转使用 EFLAGS – EFLAGS 指令的产生

为什么要进行 SSE 标量运算指令优化？

- 指令集差距 – X86 与 RISC 指令集的共性^b
- 高位“保存-恢复”带来至少两条指令的冗余

^a1 条 EFLAGS 运算指令 \approx 8 条不存在数据依赖关系的普通运算指令

^bX86 为了向前兼容，需要对高位保留原值